

CÂNCER DE ENDOMÉTRIO - LINFONODO SENTINELA DETECTADO COM VERDE DE INDOCIANINA

Campbell LM¹, Kozak EC¹, Diniz CB¹, Ferreira JA¹, Jordão EV¹, Santos CC¹
1 Instituto de Cirurgia Minimamente Invasiva de Brasília – InVideo, Brasília, DF

Contexto:

A identificação do primeiro linfonodo na cadeia de drenagem do órgão afetado pela neoplasia é um conceito conhecido, e aplicável também nas cirurgias por câncer de endométrio. O verde de indocianina tem maior acurácia e resultados oncológicos favoráveis. Nesse caso uma paciente com adenocarcinoma de endométrio foi operada utilizando essa técnica, já presente nas mais abrangentes recomendações internacionais.

Relato/Séries do(s) caso(s)

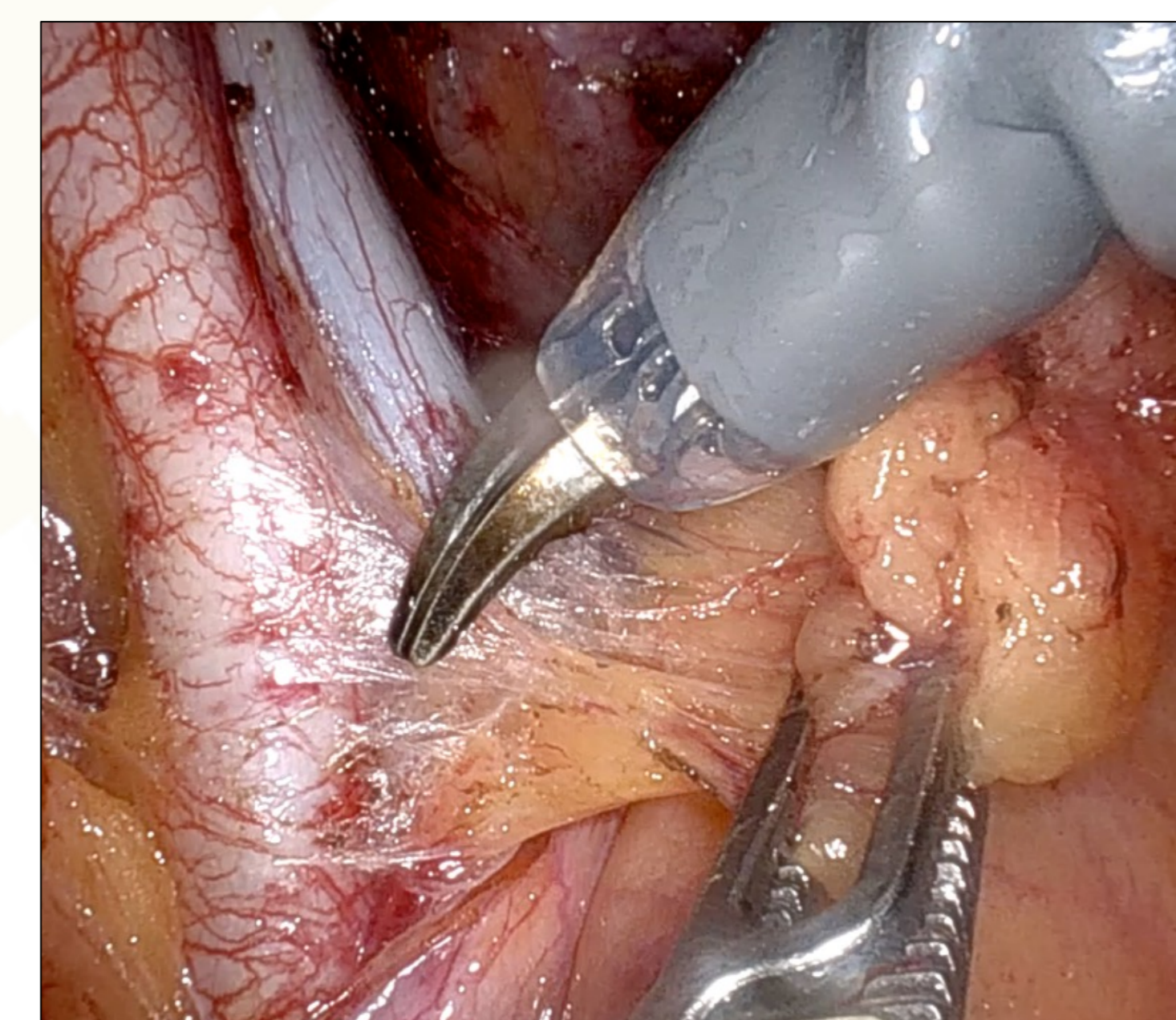
68 anos, G1PC1, hígida, menopausa há 18 anos, TRH por 8 anos, irmã teve câncer do colo uterino. Realizada cirurgia minimamente invasiva robô-assistida (Robô da Vinci Xi) com pesquisa do linfonodo sentinela aplicando verde de indocianina no colo uterino. Os linfonodos foram identificados bilateralmente, junto com o trajeto dos vasos linfáticos, e a análise anatomopatológica de congelação com ultra estadiamento não identificou micro ou macrometástases. Ultra estadiamento é o protocolo de cortes microscópicos na peça cirúrgica, permitindo detectar metástases pequenas, e também as muito pequenas (micrometástases, com 0,2 a 2 mm), e células tumorais isoladas (até 0,2 mm). Anatomopatológico definitivo diagnosticou adenocarcinoma endometriode de endométrio, G2, estadiamento IB, sem acometimento linfonodal.

Comentários:

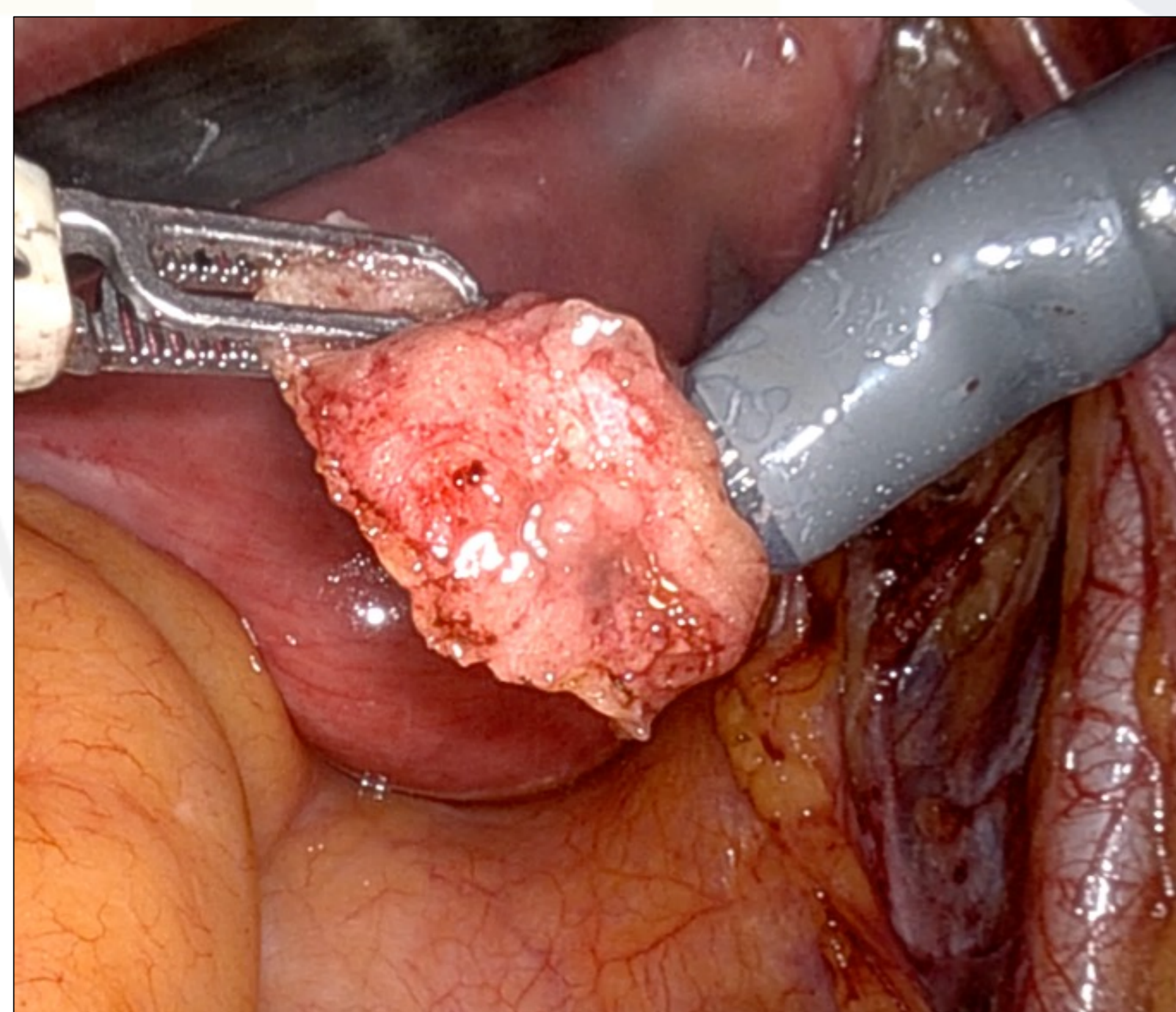
A alta acurácia na detecção dos linfonodos sentinela pélvicos no câncer de endométrio atinge mais de 90%, versus 64% quando utilizado o corante azul de metileno. Para detectar o verde de indocianina, a ótica cirúrgica deve emitir feixe de luz com comprimento de onda específico, ao redor de 803 nanômetros (nm), e ser capaz de isolar o espectro infravermelho da luz, com comprimento de onda ao redor de 830 nm. Assim as moléculas do corante, excitadas, emitem luz fluorescente que permite visualizar os linfonodos com alta taxa de contraste com o tecido adjacente, evitando a poluição do campo cirúrgico. Há uma curva de aprendizado própria para a utilização da técnica, que pode ser adotada em cirurgias minimamente invasivas (videolaparoscopia, robótica) ou laparotômicas.

Palavras-chave:

Imunofluorescência; Cirurgia robótica; Robô da Vinci; Tecnologia Firefly; Linfonodo-sentinela; Câncer de endométrio; Cirurgia oncológica; Verde de indocianina;



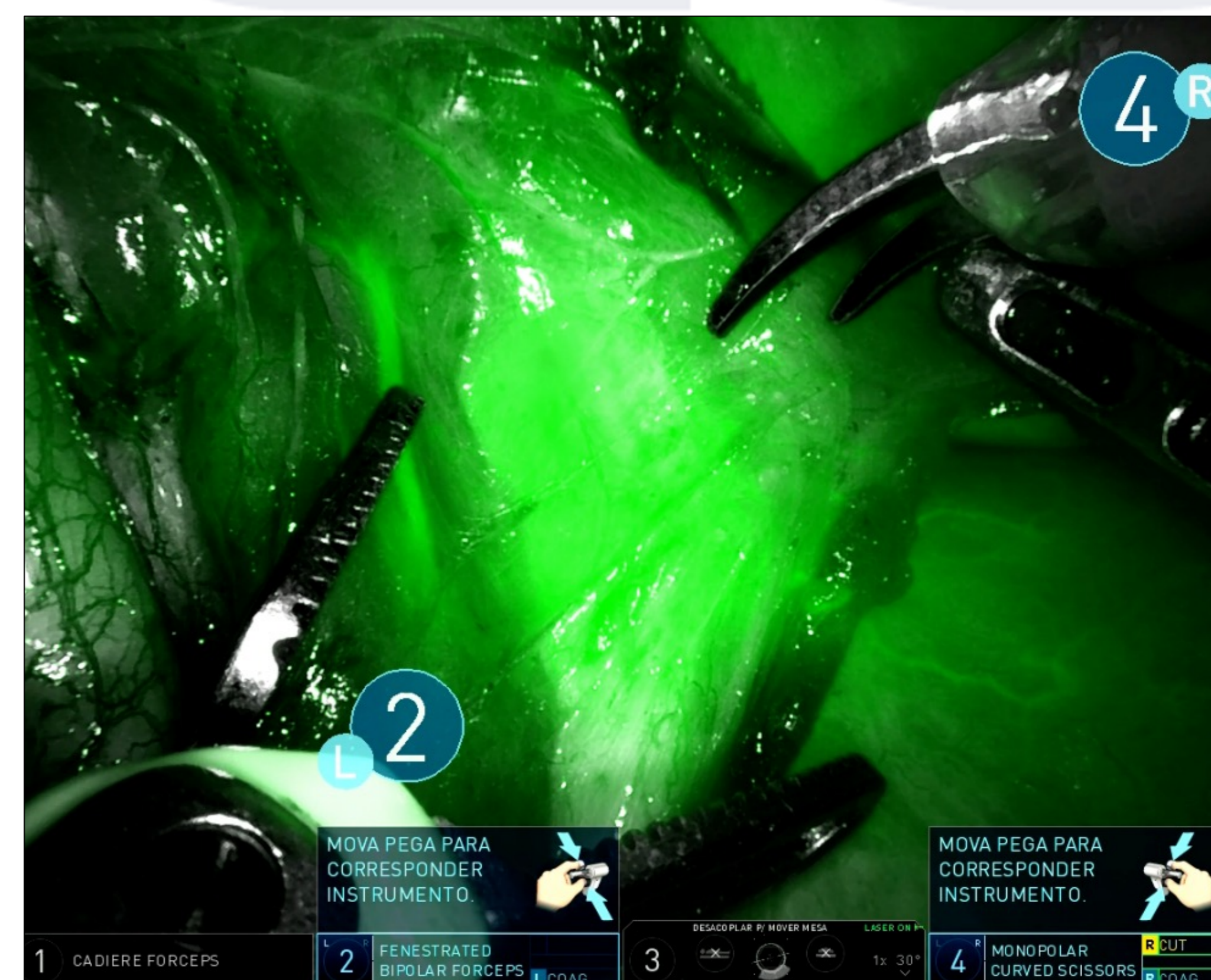
Linfadenectomia com robô Da Vinci



Linfonodo sentinela – robô Da Vinci Xi



Linfonodo sentinela – robô Da Vinci Xi



Linfonodo sentinela – robô Da Vinci Xi

Abaixo QR code para acessar a versão digital de nossos pôsteres:



Referências:

- Abu-Rustum N, Yashar C, Arend R, et al. Uterine Neoplasms, Version 1.2023, NCCN Clinical Practice Guidelines in Oncology. J Natl Compr Canc Netw. 2023;21(2):181-209. doi:10.6004/jnccn.2023.0006
- Buda A, Crivellaro C, Elisei F, Di Martino G, Guerra L, De Ponti E, Cuzzocrea M, Giuliani D, Sina F, Magni S, Landoni C, Milani R. Impact of Indocyanine Green for Sentinel Lymph Node Mapping in Early Stage Endometrial and Cervical Cancer: Comparison with Conventional Radiotracer (99m)Tc and/or Blue Dye. Ann Surg Oncol. 2016 Jul;23(7):2183-91. doi: 10.1245/s10434-015-5022-1. Epub 2015 Dec 29. PMID: 26714944; PMCID: PMC4889617.
- Rossi EC, Kowalski LD, Scalici J, Cantrell L, Schuler K, Hanna RK, Method M, Ade M, Ivanova A, Boggess JF. A comparison of sentinel lymph node biopsy to lymphadenectomy for endometrial cancer staging (FIRES trial): a multicentre, prospective, cohort study. Lancet Oncol. 2017 Mar;18(3):384-392. doi: 10.1016/S1470-2045(17)30068-2. Epub 2017 Feb 1. PMID: 28159465.
- Holloway RW, Abu-Rustum NR, Backes FJ, Boggess JF, Gotlieb WH, Jeffrey Lowery W, Rossi EC, Tanner EJ, Wolsky RJ. Sentinel lymph node mapping and staging in endometrial cancer: A Society of Gynecologic Oncology literature review with consensus recommendations. Gynecol Oncol. 2017 Aug;146(2):405-415. doi: 10.1016/j.ygyno.2017.05.027. Epub 2017 May 28. PMID: 28566221; PMCID: PMC6075736.